

## II ZELLULÄRE HOMOLOGIE

(30)

Die zelluläre Filterierung eines CW-Komplex ist für Homologie Berechnungen sehr hilfreich. Dies wird in zelluläre Homologie ausgearbeitet.

2.1 Def. und Lemma: Sei  $(X, A)$  ein CW-Paar. Setze

$$X_A^{(n)} = A \cup X^{(n)}; \text{ es gilt also } X_A^{(n)} \subset X_A^{(n+1)} \quad \forall n,$$

und  $X_A^{(n)} = A$  falls  $n \leq -1$ .

Sei  $H_*(-) = H_*(-; \mathbb{Z})$  (sing. Homologie mit  $\mathbb{Z}$  Koeff), und definiere  $C_n^{\text{zell}}(X, A) = H_n(X_A^{(n)}, X_A^{(n-1)})$ . Ferner sei

$$d_n : C_n^{\text{zell}}(X, A) \rightarrow C_{n-1}^{\text{zell}}(X, A)$$

für alle  $n \in \mathbb{Z}$  als die Verknüpfung

$$H_n(X_A^{(n)}, X_A^{(n-1)}) \xrightarrow{\partial_n} H_{n-1}(X_A^{(n-1)}) \xrightarrow{i_{n-1}} H_{n-1}(X_A^{(n-1)}, X_A^{(n-2)})$$

definiert, mit  $\partial_n =$  Rand op. des Paares  $(X_A^{(n)}, X_A^{(n-1)})$ , und  $i_{n-1}$  von  $(X_A^{(n-1)}, \emptyset) \hookrightarrow (X_A^{(n-1)}, X_A^{(n-2)})$  induziert.

Dann gilt  $d_n \circ d_{n+1} = 0 \quad \forall n$ ; der Kettenkomplex  $(C_n(X, A), d_n)_n = (C_n^{\text{zell}}(X, A), d_n)$  heißt der zelluläre Kettenkomplex von  $(X, A)$ , seine Homologie die zelluläre Homologie.

Beweis:  $d_n \circ d_{n+1}$  faktoriert durch folg. Teil der Länge ex. Folge des Paares  $(X_A^{(n)}, X_A^{(n-1)})$ :

$$H_n(X_A^{(n)}) \xrightarrow{i_n} H_n(X_A^{(n)}, X_A^{(n-1)}) \xrightarrow{\partial_n} H_{n-1}(X_A^{(n-1)}). \#$$

2.2 Lemma: Sei  $K'_n$  die Menge der  $n$ -Zellen in  $X \setminus A$ .

Die charakteristischen Abbildungen  $\{x_e \mid e \in K'_n\}$  induzieren ein Homomorphismus  $\bigvee_{e \in K'_n} S^n \rightarrow X_A^{(n)} / X_A^{(n-1)}$ .

Beweis: Dank 1.38 wissen wir, dass  $X_A^{(n)} / X_A^{(n-1)}$  ein CW-Komplex ist, mit einer 0-Zelle  $[X_A^{(n-1)}]$  und  $n$ -Zellen

$\{q(e) \mid e \in K'_n\}$ ,  $q: X_A^{(n)} \rightarrow X_A^{(n)} / X_A^{(n-1)}$ . Also induziert  $\bigvee_{e \in K'_n} 0^n \xrightarrow{\bigvee x_e} X_A^{(n)} / X_A^{(n-1)}$  eine Homöo  $\bigvee_{e \in K'_n} S^n \rightarrow X_A^{(n)} / X_A^{(n-1)}$ .

2.3 Korollar: Für  $i \neq n$  gilt  $H_i(X_A^{(n)}, X_A^{(n-1)}) = 0$ . (36)

Wir haben ein Isomorphismus

$$\bigoplus_{e \in K_n} \mathbb{Z} \longrightarrow H_n(X_A^{(n)}, X_A^{(n-1)}) = C_n(X, A).$$

In besondere ist  $C_*(X, A)$  ein Kettenkomplex von freien abelschen Gruppen.

Beweis: Wir haben Isomorphismen

$$\bigoplus_{k \in K_n} H_i(S^n, *) \xrightarrow{\cong} H_i(\bigvee_{k \in K_n} S^n, *) \xrightarrow{\cong} H_i(X_A^{(n)} / X_A^{(n-1)}, *)$$
$$\xleftarrow{\cong} H_i(X_A^{(n)}, X_A^{(n-1)}). \text{ Der erste Isomorphismus folgt aus Satz 5.64 (Topo 1), der zweite aus 2.2 und der dritte aus Satz 5.66 (Topo 1), weil } (X_A^{(n)}, X_A^{(n-1)}) \text{ ein gutes Paar ist (Lemma 1.21). Der Korollar folgt also aus } H_i(S^n, *) = \begin{cases} 0 & i \neq n \\ \mathbb{Z} & i = n \end{cases}.$$

Wir werden folgender einfacher Lemma brauchen

2.4 Lemma: Sei  $(X, A, B)$  ein Tripel, also  $B \subset A \subset X$  sind Untermannigf. Dann existiert ein natürlicher Homomorphismus  $H_n(X, A) \xrightarrow{\partial_n} H_{n-1}(A, B)$ , so dass die lange Folge  $\dots \rightarrow H_{n+1}(X, A) \xrightarrow{\partial_{n+1}} H_n(A, B) \xrightarrow{i_n} H_n(X, B) \xrightarrow{j_n} H_n(X, A) \xrightarrow{\partial_n} \dots$  exakt ist. Hier sind  $i_n$  und  $j_n$  durch die Inklusionen  $(A, B) \hookrightarrow (X, B)$  und  $(X, B) \hookrightarrow (X, A)$  induziert.

Diese LEF heißt die LEF des Triples  $(X, A, B)$

Für  $B = \emptyset$  übereinstimmt sie mit der LEF des Paares  $(X, A)$ .

Beweis: das ist die lange exakte Folge, die der Kürzen exakte Folge von Kettenkomplexen

$$0 \rightarrow S_*(A, B) \rightarrow S_*(X, B) \rightarrow S_*(X, A) \rightarrow 0$$

zugeordnet ist.

$$\text{Zur Eindeutigkeit: } S_*(A, B) = S_*(A) / S_*(B). \quad \#.$$

2.5 Lemma Sei  $(X, A)$  ein cw-Paar.

(32)

- (a)  $H_n(X_A^{(p)}, X_A^{(q)}) = 0$  falls  $p > q \geq n$  oder  $n > p \geq q$
- (b)  $H_n(X, X_A^{(q)}) = 0$  falls  $q \geq n$
- (c) Sei  $q \geq r$ . Die Inklusion  $(X_A^{(q)}, X_A^{(r)}) \rightarrow (X, X_A^{(r)})$  induziert ein Isomorphismus

$$H_n(X_A^{(q)}, X_A^{(r)}) \rightarrow H_n(X, X_A^{(r)})$$

für alle  $n$  mit  $n < q$ .

Beweis: (a) sei  $p$  festgelegt; Induktion auf  $p-q$  mit  $p > q \geq n$  falls  $p > n$ ,  $-1 \leq q \leq p$  falls  $p < n$ .

$p-q=0$ : klar.

Sei  $p-q > 1$ . Betrachte folg. Teil der LEF des Tripels  $(X_A^{(p)}, X_A^{(q+1)}, X_A^{(q)})$ :

$$H_n(X_A^{(q+1)}, X_A^{(q)}) \rightarrow H_n(X_A^{(p)}, X_A^{(q)}) \rightarrow H_n(X_A^{(p)}, X_A^{(q+1)}).$$

Die erste Gruppe ist null dank 2.3 ( $q+1 \neq n$ ), die dritte ist als 0 vorausgesetzt; also ist die zweite null wegen Exaktheit.

(b) Sei  $[z] \in H_n(X, X_A^{(q)})$  und  $z \in S_n(X, X_A^{(q)})$  eine darstellende Zykeln;  $z = \sum_{i=1}^k n_i \sigma_i$ , und  $\sigma_i(\Delta^n) \subset X$  ist kompakt; also existiert ein endlicher Unterkomplex, der  $\sigma_i(\Delta^n)$  enthält. Es folgt: ein  $p > q$  existiert, mit  $\sigma_i(\Delta^n) \in X_A^{(p)}$  für alle  $1 \leq i \leq k$ , also  $z$  liegt im Bild von  $S_n(X_A^{(p)}, X_A^{(q)}) \rightarrow S_n(X, X_A^{(q)})$ . Ebenso liegt  $[z]$  im Bild von

$$0 = H_n(X_A^{(p)}, X_A^{(q)}) \rightarrow H_n(X, X_A^{(q)}) \quad (0 \text{ wegen (a)}).$$

(c) Betrachte ein Teil der exakten Folge des Tripels  $(X, X_A^{(q)}, X_A^{(r)})$ :

$$H_{n+1}(X, X_A^{(q)}) \rightarrow H_n(X_A^{(q)}, X_A^{(r)}) \rightarrow H_n(X, X_A^{(r)}) \rightarrow H_n(X, X_A^{(q)})$$

II

0 weil  $n < q$ ,  $q+1 \geq n$  und (b).

0

Also ist der mittlere Morphismus ein Iso. #

2.6 Theorem: Sei  $(X, A)$  ein CW-Paar, und bezeichne (33) mit  $H_*^{CW}(X, A; \mathbb{Z}) := H_*(C_*^{\text{cell}}(X, A), d)$  die zelluläre Homologie von  $(X, A)$ . Es existiert ein Isomorphismus  $\Theta : H_*^{CW}(X, A; \mathbb{Z}) \rightarrow H_*(X, A; \mathbb{Z})$ .

Beweis: Betrachte das kommutative Diagramm ( $n$  gewählt,  $k \leq n-2$ )

$$\begin{array}{ccccc}
 & H_{n+1}(X_A^{(n+1)}, X_A^{(n)}) & & & \\
 & \downarrow d_{n+1} & & & \\
 0 \rightarrow H_n(X_A^{(n)}, X_A^{(k)}) & \xrightarrow{i_n} & H_n(X_A^{(n)}, X_A^{(n-1)}) & \xrightarrow{\partial_n} & H_{n-1}(X_A^{(n-1)}, X_A^{(k)}) \\
 (c) \quad \downarrow & & & \searrow d_n & \downarrow j_{n-1} \\
 & H_n(X_A^{(n+1)}, X_A^{(n)}) & & & H_{n-1}(X_A^{(n-1)}, X_A^{(n-2)}) \\
 & \downarrow & & & \\
 & 0 (A) & & &
 \end{array}$$

Die linke Spalte ist Teil der LEF des Tripels  $(X_A^{(n+1)}, X_A^{(n)}, X_A^{(k)})$ , und

$$(A) = H_n(X_A^{(n+1)}, X_A^{(n)}) = 0 \text{ wegen 2.5 (a)}$$

Die rechte Spalte ist Teil der LEF des Tripels  $(X_A^{(n-1)}, X_A^{(n-2)}, X_A^{(k)})$ , und  $(B) = H_{n-1}(X_A^{(n-2)}, X_A^{(k)}) = 0$  wegen 2.5. (a).

Die mittlere Zeile ist Teil der LEF des Tripels  $(X_A^{(n)}, X_A^{(n-1)}, X_A^{(k)})$ ,  $(C) = H_n(X_A^{(n-1)}, X_A^{(k)}) = 0$  wegen 2.5. (a).

Die Quere Folge ist Teil von  $C_*^{\text{cell}}(X, A)$  (nicht exakt).

Dann haben wir Isomorphismen

$$\begin{aligned}
 H_n(X, X_A^{(k)}) &\xleftarrow[2.5.(c)]{\cong} H_n(X^{(n+1)}, X_A^{(k)}) \xleftarrow{\cong} H_n(X_A^{(n)}, X_A^{(k)}) / \text{Bild}(\partial_{n+1}) \\
 &\xrightarrow{i_n} \text{Bild}(i_n) / \text{Bild}(i_n d_{n+1}) = \text{Bild}(i_n) / \text{Bild}(\partial_n) / \text{Bild}(\partial_{n+1}) \\
 &= \text{Ker}(\partial_n) / \text{Bild}(\partial_{n+1}) = \text{Ker}(\partial_n) / \text{Bild}(\partial_{n+1}) \\
 &= \text{Ker}(\partial_n) / \text{Bild}(\partial_{n+1}) = H_n^{CW}(X, A).
 \end{aligned}$$

Falls  $n > 0$  nimmt  $k = -2$ , und so folgt

$$H_n(X, A) = H_n(X, X_A^{(-2)}) \cong H_n^{CW}(X, A). \quad \#$$

2.7 Bemerkung: Aus dem Beweis kann man also  $\Theta$  so

beschreiben: Sei  $z \in C_n^{\text{cell}}(X, A)$  ein Zyklus, also

$z \in H_n(X_A^{(n)}, X_A^{(n-1)})$  mit  $d_n(z) = 0$ ; insbesondere

$d_n(z) = 0$ ; also existiert  $y \in S_n(X_A^{(n)}) \subset S_n(X)$  mit  $d_n(y) \in S_{n-1}(X_A^{(n-1)}) = S_{n-1}(A)$ ; also  $y \in S(X_A^{(n)}, A) \subset S(X, A)$ .  
 $[y] \in H_n(X_A^{(n)}, A)$  mit  $c_n[y] = z$ )

Dann gilt  $\Theta(z) = [y] \in H_n(X, A)$ .

2.8 Lemma:  $\Theta$  ist natürlich bzgl. Zelluläre Abbildungen.

Beweis: Aufgabe 5.3

2.9 Korollar: Sei  $(X, A)$  ein CW Paar.

(a)  $\dim(X) = n < \infty \Rightarrow H_k(X, A; \mathbb{Z}) = 0$  für  $k > n$ .

(b) Hat  $X \setminus A$  nur endlich viele  $n$ -Zellen, so ist

$H_n(X, A; \mathbb{Z})$  endlich erzeugt. Gibt es keine, so folgt  $H_n(X, A; \mathbb{Z}) = 0$ .

(c) Ist  $X$  kompakt, so ist  $H_*(X; \mathbb{Z})$  endlich erzeugt.

Beweis: die entsprechende Aussagen gelten für  $C_n^{\text{cell}}(X, A)$ .

#

2.10 Korollar: Hat  $X$  keine zwei Zellen in konsekutiven Dimensionen, so ist  $H_n(X; \mathbb{Z})$  ein freie Abelsche Gruppe  $H_n$ .

Beweis: dann gilt  $d_n = 0 \forall n$ , also  $H_n(X; \mathbb{Z}) = C_n(X, A)$ .

#

2.11 Lemma: Sei  $(X, A, B)$  ein CW-Tripel, so ist die lange exakte Folge von Kettenkomplexen

$$0 \rightarrow C_*(A, B) \rightarrow C_*(X, B) \rightarrow C_*(X, A) \rightarrow 0$$

exakt; unter  $\Theta$  ist der Rand-Operator  $\partial_*$  für die Komplexe Folge dieses Komplexes verträglich mit  $\partial_*$  in der Kettenkomplexe:  $\partial_* \Theta = \Theta \partial_*$ .

Beweis: Die Exaktheit folgt aus der Beobachtung:

$$\{n\text{-Zellen in } X \setminus B\} = \{n\text{-Zellen in } X \setminus A\} \sqcup \{n\text{-Zellen in } A \setminus B\}.$$

Die Verträglichkeit: Diagramm zeigt mit 2.7 #

Nun beschreiten wir das Differential  $d_*$  in  $C_{\text{cell}}(X, A)$  etwas genauer. Zur Einweizung: sei  $f: S^n \rightarrow S^n$  stetig,  $n \geq 1$ . Der Grad  $\deg(f) \in \mathbb{Z}$  von  $f$  ist durch

$f_*: H_n(S^n; \mathbb{Z}) \rightarrow H_n(S^n; \mathbb{Z})$ ,  $f_*(i) = \deg(f) i$  wobei  $i$  ein gewählter Erzeuger von  $H_n(S^n; \mathbb{Z}) \cong \mathbb{Z}$  ist.

2.12 Definition: Sei  $(X, A)$  ein CW-Paar,  $n \geq 2$ ,  $e_\alpha$  eine  $n$ -Zelle von  $X \setminus A$  und  $e_\beta$  eine  $(n-1)$ -Zelle. Sei  $X_\alpha$  die charakteristische Abbildung für  $e_\alpha$ , und sei

$$q_\beta: X_A^{(n-1)} \xrightarrow{q} X_A^{(n-1)} / X_A^{(n-1)} \setminus e_\beta \xrightarrow{\eta_\beta} S^{n-1}$$

wobei  $q_\beta$  die Quotientenabbildung ist, und  $\eta_\beta$  ist das inverse des Homomorphismus  $S^{n-1} \rightarrow X_A^{(n-1)} / X_A^{(n-1)} \setminus e_\beta$  induziert von  $X_\beta: D^{n-1} \rightarrow X_A^{(n-1)}$ .

Sei  $r_{\alpha\beta}: S^{n-1} \xrightarrow{X_\alpha|} X_A^{(n-1)} \xrightarrow{q_\beta} S^{n-1}$ , und  $d_{\alpha\beta} = \deg(r_{\alpha\beta})$ .

2.13 Bemerkung: Wir wählen Erzeuger von  $\tilde{H}_n(S^n; \mathbb{Z})$  wie folgt:  $i_0 \in \tilde{H}_0(S^0; \mathbb{Z})$ ,  $i_0 = \{1\} - \{-1\}$ .

Ist  $i_{n-1} \in \tilde{H}_{n-1}(S^{n-1}; \mathbb{Z})$  für  $n \geq 1$  gewählt so definieren  $j_n \in H_n(D^n, S^{n-1}; \mathbb{Z}) \xrightarrow{\partial_n} \tilde{H}_{n-1}(S^n; \mathbb{Z})$  durch  $\partial_n(j_n) = i_{n-1}$ , und  $i_n = P_*(j_n)$ ,  $P: (D^n, S^{n-1}) \rightarrow (S^n, *)$  die Quotientenabbildung.

Ebenso wählen wir nun Erzeuger von  $C_n(X, A)$ :

Sei  $e_\alpha$  eine  $n$ -Zelle in  $X \setminus A$ , sei  $X_\alpha: (D^n, S^{n-1}) \rightarrow (X_A^{(n)}, X_A^{(n-1)})$  die charakteristische Abbildung von  $e_\alpha$ , so definieren wir  $e_\alpha = X_\alpha(j_n) \in H_n(X_A^{(n)}, X_A^{(n-1)}; \mathbb{Z}) = C_n(X, A)$ .

2.14 Satz: Für  $d_n: C_n(X, A) \rightarrow C_{n-1}(X, A)$  und  $e_\alpha \in C_n(X, A)$  wie in 2.13 gilt  $d_n(e_\alpha) = \sum_{e_\beta \in K_n} d_{\alpha\beta} e_\beta$ , wobei  $K_n = \{e_\beta \mid e_\beta \text{ } n\text{-Zelle in } X \setminus A\}$ .

(Bemerkung:  $d_{\alpha\beta} = 0$  falls  $\bar{e}_\alpha \cap e_\beta = \emptyset$ .

Dank closure finite sind fast alle Summanden in der dritten Summe Null).

Beweis: betrachte das kommutative Diagramm

$$\begin{array}{ccccc}
 H_n(D^n, S^{n-1}) & \xrightarrow{\delta_*} & H_{n-1}(S^{n-1}) & \xrightarrow{r_{\alpha\beta}*} & H_{n-1}(S^{n-1}) \\
 \downarrow \chi_{\alpha*} & & \downarrow \chi_{\alpha 1*} & \nearrow q_{\beta*} & \uparrow q_2 \\
 H_n(X_A^{(n)}, X_A^{(n-1)}) & \xrightarrow{\partial_n} & H_{n-1}(X_A^{(n-1)}) & \xrightarrow{q_1} & H_{n-1}(X_A^{(n-1)} / X_A^{(n-2)}) \\
 & \searrow d_n & \downarrow j_{n-1} & & \nearrow q_3 \quad \cong \text{(gutes Paar)} \\
 & & H_{n-1}(X_A^{(n-1)}, X_A^{(n-2)}) & &
 \end{array}$$

Hier sind  $q_1, q_2, q_3$  induziert von den Quotienten Abbildungen.

Kommutativität ist klar. Auf Elemente:

$$\begin{array}{c}
 j_n \longrightarrow i_n \longrightarrow d_{\alpha\beta} i_n = u_{\alpha\beta} i_n \\
 \downarrow \chi_\alpha \\
 \sum u_{\alpha\beta} e_\beta \longrightarrow \sum u_{\alpha\beta} e_\beta \quad \# .
 \end{array}$$

Wir haben eine ähnliche Beschreibung von  $f_*: C_*(X, A) \rightarrow C_*(Y, B)$  für eine zelluläre Abbildung  $f: (X, A) \rightarrow (Y, B)$  (siehe Aufgabe 5.3).

Sei  $e_\alpha \in X \setminus A$  eine  $n$ -Zelle,  $e_\beta \in Y \setminus B$  eine  $n$ -Zelle.

Definiere  $f_{\alpha\beta}: S^n = D^n / S^{n-1} \xrightarrow[\cong]{\tilde{\chi}_\alpha} X^{(n)} / X^{(n-1)} e_\alpha \hookrightarrow X^{(n)} / X^{(n-1)} \xrightarrow{f} Y^{(n)} / Y^{(n-1)} e_\beta \xleftarrow[\cong]{\tilde{\chi}_\beta} D^n / S^{n-1} = S^n$ , und  $m_{\alpha\beta} = \deg f_{\alpha\beta}$ .

2.15 Satz: Sei  $f: (X, A) \rightarrow (Y, B)$  eine zelluläre Abbildung, und betrachte  $f_n: C_n(X, A) \rightarrow C_n(Y, B)$ . Sei  $e_\alpha \in C_n(X, A)$  mit  $e_\alpha$  eine  $n$ -Zelle von  $X \setminus A$  (siehe 2.13). Dann gilt

$$f_n(e_\alpha) = \sum_{e_\beta \in L_n} m_{\alpha\beta} e_\beta$$

wobei  $L_n = \{e_\beta \mid e_\beta \text{ } n\text{-Zelle von } Y \setminus B\}$ .

Beweis: Analog zu 2.14. #

## 2. 16 Beispiele

(37)

(a) Sei  $n \geq 1$ ,  $m \neq 0$  und wähle  $f_m : S^n \rightarrow S^n$  mit  $\deg(f_m) = m$ .  
Sei  $X$  der CW-Komplex, der durch Anheften einer  $n+1$ -Zelle auf  $S^n$  entlang  $f_m$ . Dann gilt

$$\tilde{H}_k(X; \mathbb{Z}) = \begin{cases} \mathbb{Z}/m & k = n, \\ 0 & k \neq n. \end{cases}$$

In der Tat,  $X$  hat eine CW-Zerlegung mit 3 Zellen  $e^0, e^n, e^{n+1}$ ; es folgt  $C_k(X, e^0) = \begin{cases} \mathbb{Z}\{e^n\}, \mathbb{Z}\{e^{n+1}\} & k = n, n+1 \\ 0 & \text{sonst,} \end{cases}$

und  $d_{n+1} : C_{n+1}(X, e^0) \rightarrow C_n(X, e^0)$  identifiziert man dank 2.14 mit  $\mathbb{Z}\{e^{n+1}\} \xrightarrow{\cong} \mathbb{Z}\{e^n\}$ ,  $e^{n+1} \mapsto me^n$ .

(b) Etwas allgemeiner, sei  $G$  irgendeine Abelsche Gruppe und sei  $\langle F \mid R \rangle$  eine Darstellung von  $G$  mit

$0 \rightarrow R \xrightarrow{g} F \rightarrow G \rightarrow 1$  exakt,  $F$  und  $R$  frei abelsch.

Sei  $\{x_\alpha\}_{\alpha \in A}$  eine Basis von  $R$ ,  $\{y_\beta\}_{\beta \in B}$  eine Basis von  $F$ , und  $d_{\alpha\beta} \in \mathbb{Z}$  durch

$$g(x_\alpha) = \sum_{\beta \in B} d_{\alpha\beta} y_\beta$$

für alle  $\alpha \in A, \beta \in B$  definiert. Sei  $n \geq 1$ .

Sei  $X^{(n)} = \bigvee_{\beta \in B} S_\beta^n$ , mit CW-Zerlegung mit nur einer 0-Zelle und  $n$ -Zellen  $\{e_\beta \mid \beta \in B\}$ .

Nehmen wir an, dass  $\forall \alpha \in A$ , ein Abbildung  $\phi_\alpha : S^n \rightarrow X^{(n)}$  existiert, sodass  $f_\alpha : S^n \xrightarrow{\phi_\alpha} X^{(n)} \xrightarrow{q_\beta} S^n$  Grad  $d_{\alpha\beta}$  hat.

Ist  $X = X^{(n+1)}$  durch Anheften von  $\{D_\alpha^{n+1} \mid \alpha \in A\}$  entlang  $\{\phi_\alpha \mid \alpha \in A\}$  auf  $X^{(n)}$  erhalten, so gilt

$$0 \rightarrow C_{n+1}(X^{(n+1)}, X^{(n)}) \xrightarrow{d_{n+1}} C_n(X^{(n)}, X^{(n)}) \rightarrow 0$$

$$\text{so dass } \tilde{H}_k(X, \mathbb{Z}) = \begin{cases} G & k=n \\ 0 & \text{sonst} \end{cases}$$

Der Raum  $X$  heißt dann ein Moore Raum von Typ  $(G, n)$

Existenz von  $\phi_\alpha$ : Sei  $B_\alpha = \{\beta \in B \mid d_{\alpha\beta} \neq 0\}$ . Die Punkt-Abbildung  $S^n \xrightarrow{P} S^n \vee S^n$  erhält man durch Kollabrieren des Äquators: Zum Beispiel,  $S^n = S$  als CW mit 2-Zellen in jede Dimension  $k$ ,  $0 \leq k \leq n$ , so kann man  $\nabla$  als eine Verknüpfung  $S \rightarrow S/S^{(n-1)} \cong S^n \vee S^n$  beschreiben.

Iteriere  $P$  um  $P: S^n \rightarrow \bigvee_{\beta \in B_\alpha} S_\beta^n$  zu erhalten (oder wähle eine CW-Struktur von  $S^n$  mit  $B_\alpha$  n-Zellen und Kollabrieren  $(S^n)^{(n-1)}$ ). Für jede  $\beta \in B_\alpha$  wähle  $\psi_\beta: S_\beta^n \rightarrow S_\beta^n$  von Grad  $d_{\alpha\beta}$ . Dann hat  $\phi_\alpha: S^n \xrightarrow{P} \bigvee_{\beta \in B_\alpha} S_\beta^n \xrightarrow{\bigvee \psi_\beta} \bigvee_{\beta \in B_\alpha} S_\beta^n \hookrightarrow X^{(n)}$  die gewünschte Eigenschaft:

$$\deg(\phi_\alpha \circ \psi_\beta) = \begin{cases} 0 & \beta \notin B_\alpha, \\ \deg(\psi_\beta) = d_{\alpha\beta}, & \beta \in B_\alpha. \end{cases}$$

(c) Bemerkung: der Homotopie-Typ eines Moore Raumes von Typ  $(G, u)$  ist nicht von  $(G, u)$  eindeutig bestimmt. Zum Beispiel sind  $S^3$  und die Poincaré Sphäre  $S^3/I'$  zwei Moore Räume vom Typ  $(\mathbb{Z}, 3)$ . Für  $X = S^3/I' \setminus \{x_0\}$  gilt  $\tilde{H}_*(X; \mathbb{Z}) = 0$  und  $H_*(X, x_0) \cong I'$ ; vergleiche mit Beispiel 2.38 aus Katcher.

2.17 Definition: ein Raum  $X$  heißt azzyklisch, falls  $\tilde{H}_*(X; \mathbb{Z}) = 0$ .

2.18 Beispiele: (a) Tonus  $\pi^2 = S^1 \times S^1$ : Produkt-CW-Zerlegung:

$$S^1 = e^0 \sqcup e^1, \quad \pi^2 = e^0 \sqcup e_a^1 \sqcup e_b^1 \sqcup e^2, \quad \text{mit} \\ e^0 = e^0 \times e^0, \quad e_a^1 = \underset{e^0}{\overset{e^1}{\times}} e^1, \quad e_b^1 = e^1 \times e^0, \quad e^2 = e^1 \times e^1.$$

üblicher Quotient  $e_a^1 \xrightarrow{\quad} e^2$ .  $C_*(\pi^2): 0 \rightarrow \mathbb{Z} \xrightarrow{\quad} \mathbb{Z} \oplus \mathbb{Z} \xrightarrow{\quad} \mathbb{Z} \rightarrow 0$

$$\Rightarrow H_K(\pi^2, \mathbb{Z}) = \begin{cases} \mathbb{Z} & K=0, 2, \\ 0 & \text{sonst} \end{cases}$$

Ebenso:  $\pi^3: C_*(\pi^3): 0 \rightarrow \mathbb{Z} \xrightarrow{\quad} \mathbb{Z}^3 \xrightarrow{\quad} \mathbb{Z}^3 \xrightarrow{\quad} \mathbb{Z} \rightarrow 0$

(b)  $K$  = Kleine Flasche:



$$C_*(K): 0 \rightarrow \mathbb{Z} \xrightarrow{(0)} \mathbb{Z} \oplus \mathbb{Z} \xrightarrow{\quad} \mathbb{Z} \rightarrow 0, \quad \text{also}$$

$$H_K(K; \mathbb{Z}) = \begin{cases} 0 & K \neq 0, 1 \\ \mathbb{Z} & K=0, \mathbb{Z}/2 \oplus \mathbb{Z}, K=1. \end{cases}$$

Ebenso, für  $K \times S^1$  mit produkt CW-Zerlegung, ist es gleich 39

zu berechnen:

$$H_K(K \times S^1) = \begin{cases} \mathbb{Z} & K=0 \\ \mathbb{Z} \oplus \mathbb{Z} \oplus \mathbb{Z}/2 & K=1 \text{ und } 0 \text{ sonst.} \\ \mathbb{Z} \oplus \mathbb{Z}/2 & K=2 \end{cases}$$

Vergleiche mit Hatcher, Beispiel 2.39.

(c) Zellul. Kettenkomplex für  $\mathbb{RP}^n$ :  $0 \rightarrow \mathbb{Z} \xrightarrow{\cdot 2} \mathbb{Z} \xrightarrow{\cdot 2} \mathbb{Z} \xrightarrow{\cdot 2} \dots \xrightarrow{\cdot 2} \mathbb{Z} \xrightarrow{\cdot 2} \mathbb{Z} \rightarrow 0$ .  
 für ungerade,  $0 \rightarrow \mathbb{Z} \xrightarrow{\cdot 2} \mathbb{Z} \xrightarrow{\cdot 2} \dots \xrightarrow{\cdot 2} \mathbb{Z} \xrightarrow{\cdot 2} \mathbb{Z} \rightarrow 0$ . ( $\rightarrow$  Topo 1, Theorem 5.70)

2.19 Definition: Sei  $G_* = \{G_i\}_{i \in \mathbb{Z}}$  ein graduiertes Abelsche Gruppe, so dass  $\text{Rank}(G_i)$  ist endlich für alle  $i \in \mathbb{Z}$  (Zur Erinnerung:

Ist  $G$  frei abelsch, so gilt  $\text{Rank}(G) = \text{Kardinalität einer Basis}$ .

Ausrechnen  $\text{Rank}(G) = \sup_{\leq} \{ \text{Rank}(F) \mid F \subset G, F \text{ frei} \}$ ,

und null für fast alle  $i \in \mathbb{Z}$ . Dann heißt

$$\chi(G) = \sum_{i \in \mathbb{Z}} (-1)^i \text{Rank}(G_i)$$

die Euler-Poincaré - Charakteristik von  $G$ . Ist  $(C_*, d_*)$  ein Kettenkomplex, so definieren die Euler-Poincaré Charakteristiken von  $(C_*, d_*)$  als  $\chi(C_*)$  (ignoriert  $d_*$ ), wenn definiert.

2.20 Lemma: Ist  $(C_*, d_*)$  ein Kettenkomplex so dass  $\chi(C_*)$  definiert ist. Dann ist  $\chi(H(C_*, d_*))$  auch definiert, und es gilt  $\chi(C_*) = \chi(H(C_*, d_*))$ .

Beweis: Hier beweisen wir das falls  $0 \rightarrow A \rightarrow B \rightarrow C \rightarrow 0$  ein exakte Folge von Abelschen Gruppen ist, so gilt  $\text{Rank}(B) = \text{Rank}(A) + \text{Rank}(C)$  [zum Beispiel: Zeige, dass  $\text{Rank}(B) = \dim_{\mathbb{Q}}(B \otimes_{\mathbb{Z}} \mathbb{Q})$ , und das  $0 \rightarrow A \otimes \mathbb{Q} \rightarrow B \otimes \mathbb{Q} \rightarrow C \otimes \mathbb{Q} \rightarrow 0$  exakt ist].

Also  $\text{Rank}(H(C_*, d_*)) \leq \text{Rank}(Z(C_*)) \leq \text{Rank}(C_*)$ , und  $\chi(H(C_*, d_*))$  ist definiert. Außerdem haben wir längere exakte Folgen  $0 \rightarrow \mathbb{Z} : (C_*) \rightarrow C_i \xrightarrow{d_i} B_{i-1} \rightarrow 0$ , also  $\chi(C_*) = \sum_{i \in \mathbb{Z}} (-1)^i \text{Rank}(C_i) = \sum_{i \in \mathbb{Z}} (-1)^i (\text{Rank}(B_i) - \text{Rank}(B_{i-1})) = \sum_{i \in \mathbb{Z}} (-1)^i \text{Rank}(H_i(C_*, d_*)) = \chi(H(C_*, d*))$ .

2.21 Konklusio:

- (a) Ist  $\dots \rightarrow A_{n+1} \xrightarrow{d_{n+1}} A_n \xrightarrow{d_n} A_{n-1} \rightarrow \dots$  eine exakte Folge von Ab. Gruppen, so gilt  $X(A_*) = 0$  (falls definiert).
- (b) Ist  $\dots \rightarrow C_{n+1} \rightarrow A_n \rightarrow B_n \rightarrow C_n \rightarrow A_{n-1} \rightarrow \dots$  eine exakte Folge von Ab. Gruppen, und sind zwei aus  $X(A_*)$ ,  $X(B_*)$ ,  $X(C_*)$  definiert, so ist auch der Dritte definiert, und  $X(B) = X(A) + X(C)$ .

Beweis: (a) Klar aus 2.21, weil  $H_*(A, d) = 0$ .

(b) Definiert, weil  $X \rightarrow Y \rightarrow Z$  exakt  $\Rightarrow \text{Rank}(Y) \leq \text{Rank}(X) + \text{Rank}(Z)$ . Verwenden wir (a) auf die Länge ex.

Rolge  $E$  in (b), mit  $E_0 = B_0$ , etc., so erhalten wir

$$0 = X(E) = \sum_i (-1)^{3i} \text{Rank}(B_i) + \sum_i (-1)^{3i-1} \text{Rank}(A_i) \\ + \sum_i (-1)^{3i+1} \text{Rank}(C_i) = X(B) - X(A) - X(C). \quad \#.$$

2.22 Definition: Die Euler-Poincaré Charakteristik eines Raumes  $X$  (oder eines Paares  $(X, A)$ ) ist die Euler-Poincaré Charakt. seiner Homologie:  $X(X) := X(H_*(X; \mathbb{Z}))$ , wenn definiert.

2.23 Satz: Ist  $(X, A)$  ein Paar so dass zwei aus  $X(X)$ ,  $X(A)$ ,  $X(X, A)$  definiert sind, so ist der Dritte, und  $X(X) = X(A) + X(X, A)$ .  
Beweis: LEF + 2.21.(b). (Ähnliche Aussage für Mayer-Vietoris).

2.24 Lemma: Sei  $(X, A)$  ein CW-Paar, so dass  $X \setminus A$  nur endlich-viele Zellen hat. Sei  $\alpha_n = \#\{e \mid e \text{ eine } n\text{-Zelle aus } X \setminus A\}$ . Dann gilt  $X(X, A) = \sum_{n \geq 0} (-1)^n \alpha_n$ .

Beweis: Klar, weil  $\text{Rank}(C_n(X, A)) = \alpha_n$ ; folgt also aus 2.20.

2.25 Bemerkung: in Lemma 2.24 gilt insbesondere, dass  $\sum_{n \geq 0} (-1)^n \alpha_n$  nur vom Knotenkreis-Typ und nicht von der CW-Zallegung (mit endlich-viele Zellen) abhängt. Das erklärt die Eulersche Polyederformel:

Ist  $P$  eine Polyeder-Zerlegung von  $S^2$  mit  $\alpha_0$ -viele Ecken,  $\alpha_1$ -viele Kanten und  $\alpha_2$ -viele Seiten, so gilt

$$\alpha_0 - \alpha_1 + \alpha_2 = 2 :$$

$P$  bestimmt eine CW-Zerlegung von  $S^2$  mit  $\alpha_n$  n-Zellen,  $n=0,1,2$ .

2.26 Beispiele. (a)  $\chi(S^n) = 1 + (-1)^n$ ;  $\chi(\mathbb{R}P^n) = \frac{1}{2}(1 + (-1)^n)$   
 $\chi(\mathbb{C}P^n) = n+1$

(b) Sind  $X, Y$  Räume, die eine endliche CW-Zerlegung besitzen, so gilt  $\chi(X \times Y) = \chi(X) \cdot \chi(Y)$ :

Sei  $\alpha_n = \# n\text{-Zellen in } X$ ,  $\beta_n = \# n\text{-Zellen in } Y$ ,

$\gamma_n = \# n\text{-Zellen in der Produkt-Zerlegung von } X \times Y$ , so gilt

$$\gamma_n = \sum_{i=0}^n \alpha_i \beta_{n-i}, \text{ also } \chi(X \times Y) = \sum_{i \geq 0} (-1)^i (\alpha_0 \beta_i + \dots + \alpha_i \beta_0) = \sum_{j \geq 0, k \geq 0} (-1)^{j+k} \alpha_j \beta_k = \left( \sum_{j \geq 0} (-1)^j \alpha_j \right) \cdot \left( \sum_{k \geq 0} (-1)^k \beta_k \right) = \chi(X) \cdot \chi(Y).$$

Zum Beispiel, für  $T^n = (S^1)^{\times n}$ :  $\chi(T^n) = 0 \quad \forall n > 1$ .

2.27 Bemerkung: Ein etwas feinerer Invariant als die Euler-Poincaré-Charakteristik, den man manchmal benutzt, ist die Hilbert-Poincaré Reihe  $P_{G,*}(t) = \sum_{i \in \mathbb{Z}} \text{Rank}(G_i) t^i \in \mathbb{Z}[[t^{\pm 1}]]$ . Sie ist definiert für graduierte Abelsche Gruppen mit  $\text{Rank}(G_i) < \infty \quad \forall i$ . Es gilt  $P_{G,*}(-1) = K(G)$ , wenn fast alle  $\text{Rank}(G_i)$  null sind.

$$\text{Zum Beispiel: } P_{H_*(\mathbb{C}P^n; \mathbb{Z})} = 1 + t^2 + \dots + t^{2n} = \frac{1 - t^{2n+2}}{1 - t^2},$$

$$P_{H_*(\mathbb{C}P^\infty; \mathbb{Z})} = \frac{1}{1 - t^2}.$$

2.28 Lemma: Sei  $X$  ein endlicher CW-Komplex und  $P: E \rightarrow X$  eine Überlagerung mit  $k$ -Blättern,  $k \leq \infty$ . Dann gilt  $\chi(E) = k \cdot \chi(X)$ .

Beweis: Folgt aus 1.32: falls  $X$  m n-Zellen hat, w hat  $E$  km davon

2.29 Beispiel: hier eine triviale Folgerung: Sei  $X$  ein endlicher CW-Komplex und sei  $E \xrightarrow{p} X$  ein Überlagerung (mit  $E$  zusammenhängend). Gilt  $\chi(E) = k \neq 0$ , so gibt auch  $\chi(X) \neq 0$ , und  $p$  hat  $\chi(E)/\chi(X)$  Blätter.

Zum Beispiel:  $E = \mathbb{R}P^{2^n} \Rightarrow p$  ist ein Homöomorphismus;  $E = S^{2^n} \Rightarrow p$  hat 1 oder 2 Blätter.

Nun möchten wir  $O(n)$ ,  $SO(n)$ ,  $U(n)$ ,  $SU(n)$  studieren: wir definieren CW-Zerlegungen von diesen Lie-Gruppen und versuchen ihre zelluläre Homologie zu berechnen. Das machen wir direkt für alle Stiefel Mannigfaltigkeiten.

2.30 Definition: Sei  $\mathbb{F} = \mathbb{R}$  oder  $\mathbb{C}$ , und sei  $\mathbb{F}^n$ ,  $n \geq 1$ , mit dem euklidischen oder hermitischen Skalarprodukt versehen.

Sei  $0 \leq k \leq n$ . Wir definieren die (reelle, bzw. komplexe) Stiefel Mannigfaltigkeit  $V_{n,k}$  wie folgt:

$$V_{n,n} (= V_{n,n}^{\mathbb{F}}) = \{ (v_1, \dots, v_n) \in (\mathbb{F}^n)^k \mid \langle v_i, v_j \rangle = \delta_{ij} \},$$

mit der Teilraumtopologie von  $\mathbb{F}^{nk}$ . Ein  $k$ -tuple  $(v_1, \dots, v_k)$  nennt man einen  $k$ -Rahmen (eig:  $k$ -frame).

2.31 Lemma: Sei  $G(n) = O(n)$ , bzw  $U(n)$ . Wir haben Inklusionen  $G(n) \hookrightarrow G(n+1)$  für alle  $n \geq 1$ , gegeben durch  $A \mapsto \begin{pmatrix} A & 0 \\ 0 & 1 \end{pmatrix}$ ; ebenso  $G(k) \hookrightarrow G(n)$  für  $0 \leq k \leq n$ , woher  $G(0)$  mit  $\{I_n\} \subset G(n)$  identifiziert ist.

Sei  $e_1, \dots, e_n$  die kanonische Basis von  $\mathbb{F}^n$ ;

Die Topologische Gruppe wirkt stetig und transitiv auf  $V_{n,n}$  durch  $A \cdot (v_1, \dots, v_n) = (Av_1, \dots, Av_n)$ . Der Stabilisator von  $x_0 = (e_{n-k+1}, \dots, e_n)$  ist die Untergruppe  $G(k)$ , und wir erhalten eine Homöomorphie

$$G(n)/G(k) \rightarrow V_{n,k}, [A] \mapsto A \cdot x_0.$$

Beweis: Klar. Das die Abbildung ein Homöo ist folgt aus (43)  
 $G(u)$  kompakt und  $V_{n,u}$  Hausdorff. #

2.32 Bemerkung: es ist nicht schwierig zu beweisen, dass  $V_{n,u}$  eine Untermannigfaltigkeit von  $\mathbb{F}^n$  der (reellen) Dimension  $n_k - \frac{1}{2}(k^2+k)$  (falls  $\mathbb{F} = \mathbb{R}$ ) ,  $2n_k - k^2$  (falls  $\mathbb{F} = \mathbb{C}$ ).  
 (→ homogene Raumigfaltigkeiten).

2.33 Beispiele: (a)  $V_{n,n}^{\mathbb{R}} = O(n)$ ,  $V_{n,n-1}^{\mathbb{R}} \cong SO(n)$ ,  
 $V_{n,n}^{\mathbb{C}} = U(n)$ ,  $V_{n,n-1}^{\mathbb{C}} = SU(n)$   
 (b)  $V_{n,1}^{\mathbb{R}} = S^{n-1}$ ,  $V_{n,1}^{\mathbb{C}} \cong S^{2n-1}$

Wir definieren nun die CW-Zerlegung für  $V_{n,u}^{\mathbb{R}}$  und  $V_{n,u}^{\mathbb{C}}$  gleichzeitig; Sei  $d=1$  falls  $\mathbb{F}=\mathbb{R}$ ,  $d=2$  falls  $\mathbb{F}=\mathbb{C}$ .  
 Wir definieren, falls  $u \geq 1$ ,

$$\varphi: S^{d-1} \times S^{nd-1} \rightarrow G(u)$$

durch  $\varphi(\lambda, x)(y) = (\lambda-1)\langle x, y \rangle x + y$ : also ist  
 $\varphi(\lambda, x): \mathbb{F}^n \rightarrow \mathbb{F}^n$  durch  $\varphi(\lambda, x)(y) = y$  für  $y \in x^\perp$   
 und  $\varphi(\lambda, x)(x) = \lambda x$ . Als Matrix bezüglich  $(e_1, \dots, e_n)$   
 ist  $\varphi(\lambda, x)$  durch  $\varphi(\lambda, x)_{ij} = x_i \bar{x}_j (\lambda-1) + \delta_{ij}$  gegeben,  
 mit  $x = \sum x_i e_i$ . Die Stetigkeit von  $\varphi$  ist klar.

Falls  $m \leq n$ , beachte die standard Inklusion  $\mathbb{F}^m = \mathbb{F}^m \times 0 \subset \mathbb{F}^n$ , und  $S^{dm-1} \hookrightarrow S^{du-1}$  (Einschankung).

Dann ist  $\varphi$  mit den Inklusionen verträglich:

$$S^{d-1} \times S^{dm-1} \hookrightarrow S^{d-1} \times S^{du-1}$$

$$\begin{array}{ccc} \varphi & \xrightarrow{\quad A \vdash (A \circ \varphi) \quad} & \varphi \\ G(m) & \xrightarrow{\quad \text{Kommutiert} \quad} & G(u) \end{array}$$

2.34 Definition: Sei  $Q_n$  der Quotienten Raum von  $S^{d-1} \times S^{du-1}$   
 durch die Äq.-Relation, die von  $\varphi$  bestimmt ist:  $S^{d-1} \times S^{du-1} \xrightarrow{\varphi} G(u)$   
 Da  $S^{d-1} \times S^{du-1}$  kompakt ist, und  $G(u)$  Hausdorff,  $\pi: S^{d-1} \times S^{du-1} \rightarrow Q_n$

ist  $\bar{\varphi}$  ein Homöomorphismus auf  $\bar{\varphi}(Q_n) \subset G(n)$ , und wir identifizieren  $Q_n$  mit diesem Teilraum von  $G(n)$ .

2.35 Bemerkung: die Äquivalenzrelation  $\sim$  die in 2.34 durch  $\varphi$  gegeben ist, kann man so beschreiben:

$$(z, x) \sim (\mu, y) \iff \begin{cases} z = \mu = 1, \text{ oder} \\ z = \mu \text{ und } y = v x \end{cases}$$

für ein  $v \in F$ : klar, weil  $\varphi(x, 1) = id = \varphi(y, 1)$  für  $x, y$ ;  $\varphi(z, 1)$  hat 1 (falls  $u > 2$ ) und 2 als Eigenwerte, also  $z \neq 1$  und  $\varphi(z, 1) = \varphi(y, \mu) \iff z = \mu$ , mit gleichen Eigenraum (also  $\langle x \rangle = \langle y \rangle$ ). Außerdem, der obige Diagramm mit  $\varphi$  und Inkl. induziert auf Quotienten ein kompl. Diagramm von Inklusionen  $Q_m \hookrightarrow Q_n$  als Teilmengen, für

$$\begin{matrix} \downarrow & \downarrow \\ G(m) & \hookrightarrow G(n) \end{matrix}$$

alle  $n > m > 0$ .

(Hier  $Q_0 = \{id\} = \{\text{Klasse von } (x, 1)\} \subset Q_n$ ).

Nun zeigen wir, dass  $Q_n$  ein CW-Komplex ist.

Behalte  $D^{(n-1)d} = \{x \in F^{n-1} \mid \|x\| \leq 1\}$  und definieren  
 $f_n: D^{(n-1)d} \rightarrow S^{d-1}, x \mapsto (x, \sqrt{1-\|x\|^2}) \in F^{n-1} \times F$ .  
Sei  $g: D^{d-1} \rightarrow D^{d-1}/\partial D^{d-1} \cong S^{d-1}$  die Quotienten Abbildung mit  $[\partial D^{d-1}] = 1, d=2$  oder  $g: \partial^0 \rightarrow \{1\} \subset S^0$ .

2.36 Lemma: Die Verknüpfung

$$h_n: D^{nd-1} = D^{d-1} \times D^{(n-1)d} \xrightarrow{g \times f_n} S^{d-1} \times S^{du-1} \xrightarrow{\varphi} Q_n$$

bestimmt einen relativen Homöomorphismus

$$h_n: (D^{nd-1}, S^{nd-2}) \rightarrow (Q_n, Q_{n-1}),$$

für alle  $n > 1$ . Insbesondere ist  $Q_n$  ein CW-Komplex mit einer 0-Zelle ( $= Q_0$ ) und einer  $(nd-1)$ -Zelle ( $= h_n(D^{nd-1})$ ) für alle  $1 \leq m \leq n$ .

Beweis: (a)  $h_n(S^{nd-2}) = Q_{n-1}$ : hier  $S^{nd-2} = A \cup B$  mit  $A = S^{d-1} \times D^{(n-1)d}$ ,  $B = D^{d-1} \times S^{(n-1)d-1}$ . ( $A = \emptyset$  für  $d=1$ )

Für  $(\alpha, z) \in A$  gilt  $h_n(\alpha, z) = \varphi \circ (g \times f_n)(\alpha, z) = \varphi(1, f_n(z)) = \text{id} \in Q_0 \subset Q_{n+1}$ .

Für  $(\alpha, z) \in B$  gilt  $f_n(z) \in S^{d(n-1)-1}$  (weil  $f_n(z) = z$  falls  $z \in S^{d(n-1)-1}$ ), also  $(g \times f_n)(\alpha, z) \in S^{d-1} \times S^{d(n-1)-1}$  und  $h_n(\alpha, z) \in Q_{n-1}$ ; Außerdem:  $h_n(B) = Q_{n-1}$ .

(b)  $h_n: \overset{\circ}{D}{}^{nd-1} \rightarrow h_n(\overset{\circ}{D}{}^{nd-1}) = Q_n \setminus Q_{n+1}$  ist ein Homöo:  
- Bijektiv: Sei  $(\alpha, z) \in \overset{\circ}{D}{}^{d-1} \times \overset{\circ}{D}{}^{(n-1)d}$ ; dann gilt  $g(\alpha) \neq 1$ ;  
also  $h_n(\alpha, z) = h_n(\beta, y) \Leftrightarrow f_n(z) = v \cdot f_n(y)$ .

Insgesamt  $1 - \|v y\|^2 = v^2(1 - \|y\|^2)$ ,  $1 = v^2$  mit  
 $v \text{ reell } \geq 0$  (die letzten Koordinaten von  $f_n(z), f_n(y)$ , sind reell  $\geq 0$ )  
Also ist  $h_n$  injektiv; die Surjektivität ist klar.

Also ist  $h_n$  ein Homöo (weil es eine bijektive Ausdehnen-Abs. ist:  
 $g \times f_n|_{\overset{\circ}{D}{}^{nd-1}}$  ist eine Einbettung, mit Bild offen in  $S^{d-1} \times S^{d(n-1)}$   
und satziert bezüglich  $\varphi$ .  $\Rightarrow Q_n = \# \text{ Zellen}$ .

(c) CW: closure finite und weak sind klar weil endlich. #

2.37 Definition: Wir nennen  $\mu: G(n) \times G(n) \rightarrow G(n)$  das Produkt  
von  $G(n)$ , und ebenso seine Iteration  $G(n)^m \xrightarrow{\mu^m} G(n)$ . Sei  $n \geq 1$ ,  
 $0 \leq k \leq n$  und sei  $\pi: G(n) \rightarrow V_{n,k}$  die Projektion (2.31).

Eine normale Zelle von  $V_{n,k}$  ist das Bild von  $\overset{\circ}{D}{}^l$  unter  
 $D^l = D^{i_1 d-1} \times \dots \times D^{i_r d-1} \xrightarrow{h_{i_1} \times \dots \times h_{i_r}} Q_{i_1} \times \dots \times Q_{i_r} \xrightarrow{\pi^M} V_{n,k}$ ,

mit  $l = d(i_1 + \dots + i_r) - r$  und  $n \geq i_1 > i_2 > \dots > i_r > n-k$

Diese Zelle notieren wir  $(i_1, \dots, i_r | n, k)$  (oder einfach  $(i_1, \dots, i_r)$   
wenn  $n$  und  $k$  fest sind).

Zum Beispiel, wenn  $k = n$ ,  $V_{n,n} = G(n)$ , dann entsprechen  
die oben beschriebene  $Q_m$  von  $Q_n$ ,  $m \neq 0$ , die Zellen  $(m | n, n)$   
mit  $0 < m \leq n$ .

Wir notieren auch  $\mu: G(n) \times V_{n,k} \rightarrow V_{n,k}$  die linke Wirkung  
von  $G(n)$  auf  $V_{n,k}$ .

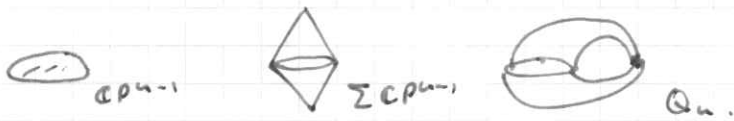
2.38 Theorem:  $V_{n,k}$  ist ein CW Komplex, mit Zellen  $x_0 = (e_{n-k+1}, \dots, e_n)$  und die normalen Zellen (2.37). Außerdem, für  $k > 0$  ist die Abbildung

$\mu: Q_n \times V_{n-1, k-1} \xrightarrow{1 \times i} Q_n \times V_{n, k} \rightarrow V_{n, k}$  zellulär, und induziert eine surjektive Abbildung auf den zellulären Ketten-Komplexe ( $i(v_1, \dots, v_{k-1}) = (v_1, \dots, v_{k-1}, e_n)$ )

2.39 Bemerkung: Bevor wir das Theorem beweisen, etwas Erklärung;

(a) Die Räume  $Q_n$ : Falls  $\mathbb{F} = \mathbb{R}$ , so gilt  $Q_0 = \{\text{id}\}$ ,  $Q_1 = O(1) = \{\pm \text{id}\}$ . Für  $n \geq 2$  gilt  $Q_n \stackrel{\text{CW}}{\cong} \mathbb{R}P^{n-1} \amalg Q_0$ , mit der üblichen CW-Zerlegung von  $\mathbb{R}P^{n-1}$ . Das ist klar, weil  $Q_n = (S^{n-1} \times S^0)/\sim$ ; hier  $(S^{n-1} \times \{1\})/\sim = Q_0$ , und auf  $S^{n-1} \times \{1\}$  ist  $\sim$  die aufgrund Reaktion.

Falls  $\mathbb{F} = \mathbb{C}$ , so gilt  $Q_0 = \{\text{id}\}$ ,  $Q_1 = U_1$ , und für  $n \geq 2$  gilt  $Q_n = (\mathbb{C}P^{n-1} \times [0,1]) / \mathbb{C}P^{n-1} \times \{0,1\} = \sum \mathbb{C}P^{n-1} / \sim$ , wohei  $\sim$  die Klassen von  $[x,0]$  und  $[x,1]$ ,  $x \in \mathbb{C}P^n$ , identifiziert:



(b) Die Einbettung  $Q_n \subset Q_{n+1}$  entspricht die übliche Einbettung  $\mathbb{R}P^{n-1} \subset \mathbb{R}P^n$ , bzw die Einbettung induziert von  $\mathbb{C}P^{n-1} \subset \mathbb{C}P^n$ .

(c) Die normale Zellen in  $V_{n,k}$  erhält man durch Multiplikation von Zellen in  $G(n)$ , die von  $Q(m) \subset G(n)$  gehen sind, gefolgt durch Quotienten unter  $G(n-k)$ .

Die Höchstdimensionale normale Zelle in  $V_{n,k}$  (eine einzige) ist  $(n, n-1, \dots, n-k+1 | n, k)$ ; für  $\mathbb{F} = \mathbb{R}$  hat sie die Dimension  $(n-1) + (n-2) + \dots + (n-k) = nk - \frac{1}{2}(k^2 + k)$ , für  $\mathbb{F} = \mathbb{C}$  die Dimension  $(2n-1) + (2n-3) + \dots + (2n-2k+1) = 2nk - k^2$  (Vergleiche mit 2.32).

Wir betrachten nun die Verknüpfung

$$\alpha: Q_n \hookrightarrow G(u) \xrightarrow{\pi} G(u)/G(u_{-1}) = V_{n+1} = S^{nd-1}.$$

Wie oben, sei  $e_n = (0, \dots, 0, 1) \in \mathbb{F}^n$ .

2.40 Lemma: Die Abbildung  $\alpha: (Q_n, Q_{n-1}) \rightarrow (S^{nd-1}, e_n)$  ist ein relativer Homöomorphismus.

Beweis: (a)  $Q_{n-1} = \alpha^{-1}(e_n)$ ; die Inklusion  $Q_{n-1} \subset \alpha^{-1}(e_n)$  ist klar:  $\pi: G(u) \rightarrow S^{nd-1}$  ist durch  $A \mapsto Ae_n$  gegeben; insbesondere  $\alpha(Q_{n-1}) \subset \{e_n\}$ , weil  $Q_{n-1} \subset G(u_{-1})$ .

Umgekehrt, für  $A \in G(u)$  gilt  $A \in G(u_{-1}) \iff Ae_n = e_n$ ;

$$\text{Also } \alpha(\varphi(\lambda, x))(e_n) = e_n \stackrel{2.33}{\iff} (\lambda-1)(x, e_n) \cdot x + e_n = e_n \iff$$

$$\iff \lambda = 1 \text{ oder } x \perp e_n \text{ (also } x_n = 0) \iff \lambda = 1 \text{ oder } x \in S^{(n-1)d-1}$$

$$\iff \varphi(\lambda, x) \in Q_{n-1}.$$

(b)  $\alpha: Q \setminus Q_{n-1} \rightarrow S^{nd-1} \setminus e_n$  ist bijektiv:

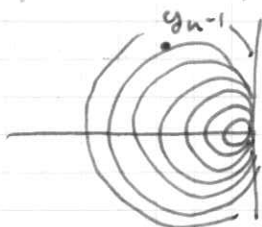
Sei  $y \in S^{nd-1} \setminus e_n$ ; es genügt zu zeigen: es existiert genau ein  $(\lambda, x) \in S^{d-1} \times S^{nd-1}$  mit  $\lambda \neq 1$  und  $x_n \neq 0$  und  $x_n > 0$  (weil jeder  $[x, \lambda] \in Q_n \setminus Q_{n-1}$  hat genau 1 solcher Darsteller), mit  $\varphi(\lambda, x)(e_n) = y$ ,

$$(\lambda-1)x_n \cdot x = y - e_n \quad (*)$$

$n$ -te Komponente von  $(*)$  ist  $(\lambda-1)x_n^2 = y_{n-1}$ . Wir suchen eine Lösung mit  $\lambda \in S^{d-1} \setminus 1$ ,  $x_n \in \mathbb{R}_{>0}$ .

$$\mathbb{F} = \mathbb{R}: \lambda = -1, x_n = (\frac{1}{2}(1-y_{n-1}))^{1/2} \text{ einzige Lösung.}$$

$\mathbb{F} = \mathbb{C}$ :  $|y_{n-1}| < 1$  also  $y_{n-1}$  liegt in der offene Halb-Ebene  $\{z \mid \operatorname{re}(z) < 0\}$ ;  $(\lambda-1)x_n^2$  ist ein Kreis in  $\mathbb{C}$  mit Zentrum  $(-x_n^2 + 0i)$  und Radius  $x_n^2$ . Diese Kreise haben  $0$  als einzige Schnittpunkte (entspricht  $\lambda = 1$ ).



$\Rightarrow y_{n-1}$  liegt auf genau 1 solchen Kreis, was  $\lambda \neq 1$ ,  $|\lambda| = 1$  und  $x_n > 0$  eindeutig bestimmt.

Dann sind  $x_i$ ,  $1 \leq i \leq n-1$ , eindeutig durch (\*) bestimmt.

Es bleibt zu zeigen:  $x \in S^{nd-1}$ , also  $\|x\| = 1$ :

(\*) : verwende  $\langle \cdot, \cdot \rangle$  auf die Gleichung, und erhält

$$(2-1)(\bar{2}-1) x_n^2 \langle x, x \rangle = 2 - y_n - \bar{y}_n$$

$$(2-2-\bar{2}) x_n^2 \langle x, x \rangle = 2 - y_n - \bar{y}_n \quad (\text{verwende } x_n^2(2-1) = y_{n-1})$$

$$(2-2-\bar{2}) x_n^2 \langle x, x \rangle = (1-y_n) + (1-\bar{y}_n) = (2-2-\bar{2}) x_n^2$$

$$\Rightarrow \langle x, x \rangle = 1, \text{ da } x_n^2 \neq 0, 2-2-\bar{2} \neq 0.$$

Die Stetigkeit von  $\alpha^{-1}$  folgt aus der Konstruktion von  $z, x$ . #

2.41 Lemma:  $0 < k \leq n$ ; dann ist

$$\mu: (Q_n \times V_{n-1, k-1}, Q_{n-1} \times V_{n-1, k-1}) \rightarrow (V_{n, k}, V_{n-1, k-1})$$

ein relatives Homöomorphismus, mit  $\mu(Q_n \times V_{n-1, k-1}) = V_{n, k}$ .

Beweis: (a)  $\mu^{-1}(V_{n-1, k-1}) = Q_{n-1} \times V_{n-1, k-1}$ :

$$\mu(Q_{n-1} \times V_{n-1, k-1}) = V_{n-1, k-1} \text{ ist klar. (id} \in Q_n \subset G(n-1)).$$

Sei  $(A, \underline{v}) \in Q_n \times V_{n-1, k-1}$  mit  $\mu(A, \underline{v}) \in V_{n-1, k-1}$ :

$$\mu(A, \underline{v}) = [A(v_1, \dots, v_{k-1}, e_n)] \in V_{n-1, k-1} \Rightarrow A e_n = e_n \Rightarrow$$

$A \in G(n-1)$ ; also  $A \in G(n-1) \cap Q_n$ ; aber  $G(n-1) \cap Q_n = Q_n$ :

" $\supset$ " ist klar, " $\subset$ " folgt aus 2.40.

(b)  $\mu$  ist eine Bijektion  $(Q_n \setminus Q_{n-1}) \times V_{n-1, k-1} \rightarrow V_{n, k} \setminus V_{n-1, k-1}$ :

Injectiv: seien  $A, B \in Q_n$  und  $C, D \in G(n-1)$  mit

$$[C, D] \in V_{n-1, k-1}; \text{ nehmen wir an, } \mu(A, C) = \mu(B, D);$$

Dann gilt  $AC G(n-k) = BD G(n-k)$  in  $G(n)$ ; es folgt

$$A e_n = B e_n, \text{ also aus 2.40 } A = B. \text{ Also aus (*) } [C] = [D].$$

Surjektiv: Sei  $A G(n-k) \in V_{n, k} \setminus V_{n-1, k-1}$  mit  $A \in G(n)$ .

Dann gilt  $A(e_n) \neq e_n$ . also dank 2.40 existiert  $B \in Q_n \setminus Q_{n-1}$  mit  $A(e_n) = B(e_n)$ ; ferner  $A G(n-1) = B G(n-1)$ ,

und ein  $C \in G(n-1)$  existiert, mit  $A = B C$ .

$$\text{Also } A = \mu(B, C G(n-k)).$$

#

2.42 Bemerkung: Betrachte die Abbildung  $\varphi: S^{d-1} \times S^{nd-1} \rightarrow G(n)$  (43)

aus 2.34. Sei  $A \in G(n)$ . Dann gilt  $A \varphi(z, x) A^{-1} = \varphi(z, Ax)$ .

In der Tat, für  $y \in \mathbb{F}^n$  gilt  $\varphi(z, Ax)(y) = \varphi(z, Ax)(AA^{-1}y) = (z, Ax) \langle Ax, AA^{-1}y \rangle Ax + AA^{-1}y = A((z, x) \langle x, A^{-1}y \rangle x + A^{-1}y) = A \varphi(x, z)(A^{-1}y)$ .

2.43 Lemma:  $\mu(Q_n \times Q_n) = \mu(Q_n \times Q_{n-1}) \subset G(n)$

für alle  $n \geq 1$ .

Beweis:  $m=1$ : klar, weil  $Q_1 = G(1)$  und  $Q_0 = \{\text{id}\}$ .

$m=2$ : es genügt zu zeigen,  $\mu(Q_2 \times Q_1) = G(2)$ .

Aber das haben wir in 2.41 bewiesen:

$Q_2 \times V(1,1) \xrightarrow{\mu} V(2,2) = G(2)$  ist surjektiv, und  $V(1,1) = G(1)$ .

$m \geq 3$ : Seien nun  $(z, x) \text{ und } (\mu, y) \in S^{d-1} \times S^{nd-1}$ .

Zu zeigen:  $\varphi(z, x) \cdot \varphi(\mu, y) \in Q_m \cdot Q_{m-1}$ .

Sei  $W$  ein 2-dimensionaler ( $/\mathbb{F}$ ) Unterraum von  $\mathbb{F}^n$  mit  $x, y \in W$ . Sei  $\mathbb{F}^r = \mathbb{F}^r \times 0 \subset \mathbb{F}^{r+1}$  die Standard Inklusion. Aus  $0 \subset W \cap \mathbb{F}^1 \subset W \cap \mathbb{F}^2 \subset \dots \subset W \cap \mathbb{F}^n = W$  (Dimension wächst höchstens durch 1 um je jede  $\subset$ ) sehen wir: Ein  $1 \leq r \leq n-1$  existiert, mit  $\dim(W \cap \mathbb{F}^r) = 1$ .

Wähle  $A \in G(n)$  mit  $A: W \xrightarrow{\cong} \mathbb{F}^2$  und  $A(W \cap \mathbb{F}^r) = \mathbb{F}^1$ .

Sei  $x' = Ax$  und  $y' = Ay$ ; aus 2.42 folgt

$$A \varphi(z, x) \varphi(\mu, y) A^{-1} = \varphi(z, x') \varphi(\mu, y'). \quad (*)$$

Außerdem  $\varphi(z, x') \cdot \varphi(\mu, y') \in Q_2 \cdot Q_2 = Q_2 \cdot Q_1$ .

Wähle  $(z_1, x_1) \in S^{d-1} \times S^{nd-1}$ ,  $(\mu_1, y_1) \in S^{d-1} \times S^{nd-1}$

mit  $\varphi(z, x') \cdot \varphi(\mu, y') = \varphi(z_1, x_1) \cdot \varphi(\mu_1, y_1)$

Vernende (\*) und 2.42:  $\varphi(z, x) \cdot \varphi(\mu, y) = \varphi(z_1, A^{-1}x_1) \cdot$

$\varphi(\mu_1, A^{-1}y_1)$ ;  $y_1 \in \mathbb{F}^r \Rightarrow A^{-1}y_1 \in \mathbb{F}^{n-r} \Rightarrow \varphi(\mu_1, A^{-1}y_1) \in Q_{n-r}$

#

Beweis von Theorem 2.38: betrachte die folgenden Aussagen für  $0 \leq k \leq n$ :

- (a<sub>n,k</sub>)  $V_{n,k}$  ist ein CW-Komplex (mit den normalen Zellen); für  $k > 0$  ist  $Q_n \times V_{n-1,k-1} \rightarrow V_{n,k}$  zellulär, und induziert einen surjektiven Homom. auf den zell. Kettenkomplexen.
  - (b<sub>n,k</sub>) Für  $0 < i_1, \dots, i_r \leq n$  liegt  $\pi(Q_{i_1} \cdots Q_{i_r})$  im m-skelet  $V_{n,k}^{(m)}$ , mit  $m = \sum_{s=1}^r (d_{i_s} - 1)$ .
  - (c<sub>n,k</sub>)  $\mu: Q_n \times V_{n,k} \rightarrow V_{n,k}$  ist zellulär.

Wir beweisen diese Aussagen per Induktion. Alle drei gelten wenn  $k=0$ .

Sei angenommen  $1 \leq k \leq n$  und die Ausagen  $(a_{n-k+1})$ ,  $(b_{n-k+1})$ ,  
 und  $(c_{n-k+1})$  falsch. Zu zeigen: dann gilt  $\uparrow$   
 falsch  $(a_{n,k})$ ,  $(b_{n,k})$  und  $(c_{n,k})$  auch.  $\downarrow$

(ca<sub>n+1,n</sub>): (ca<sub>n-1,n-1</sub>) und (ca<sub>n-1,n-1</sub>) implizieren,  
dass V<sub>n-1,n-1</sub> ein CW (mit nur un. Zellen) ist,  
und das Q<sub>n-1</sub> × V<sub>n-1,n-1</sub> → V<sub>n-1,n-1</sub> zellulär ist. Lemma 2.41

Sagt:  $V_{n,k} \setminus V_{n-1,k-1}$  ist eine disjunkte Vereinigung von Zellen der Art  $\mu(e \times (i_2, \dots, i_r | n-1, k-1))$  mit  $n-1 > i_2 > \dots > i_r > n-k$ , wobei  $e$  die  $(nd-1)$ -Zelle von  $Q_n$  ist.

Solchen Zelle ist die normale Zelle ( $n, i_1, \dots, i_r | n, k$ ).

Der Rand von dieser Zelle liegt ein

$\mu(Q_{n-1} \times V_{n-1, k-1}^{(m)}) \cup \mu(e \times V_{n-1, k-1}^{(m-1)})$ , wobei  
 $m = \sum_{s=2}^r (d_i s - 1)$ , was dank  $(c_{n-1, k-1})$  (für endlich) und Def. von kompl. Ziffern (für zweitstark) in  $\sqrt{V_{n, n}^{((nd-1)+m-1)}}$  liegt.

(b) : Dank Bemerkung 2.42 wissen wir:  $A Q_m = Q_m A$  gilt in  $G(u)$ , für alle  $A \in G(m)$ ; insbesondere  $Q_j Q_m = Q_m Q_j$  für alle  $0 \leq j < m$ . Dank dieser Beobachtung und Lemma 2.43 gilt also  $\pi(Q_1, \dots, Q_{i_0}) \subset \pi(Q_{j_1}, \dots, Q_{j_5})$  woher  $n = j_1 > j_2 > \dots > j_5 > n-k$ . ( $j_5 > n-k$  weil  $Q_i \in G(n-k)$ ) für  $i \leq n-k$

Nun  $\pi(\alpha_{i_2} \dots \alpha_{i_s}) \subset V_{n-k-1}^{(m)}$ ,  $m = \sum_{t=2}^s (\alpha_{i_t-1})$ , dank

$(b_{n-k-1})$ , und da  $Q_n \times V_{n-k-1} \rightarrow V_{n-k}$  zellulär ( $(a_{n-k-1})$ ,  
folgt  $\pi(\alpha_{i_1} \dots \alpha_{i_s}) \subset V_{n-k}^{(m)}$ . Damit ist  $(b_{n-k})$  bewiesen.

$(c_{n,k})$ :  $Q_n \times V_{n-k-1} \xrightarrow{f} V_{n-k}$  ist zellulär (dank  $(a_{n-k-1})$ ),  
und ebenso  $Q_n \times V_{n-k} \rightarrow V_{n-k}$  (das ist id!). Es genügt  
also zu prüfen: ist  $(i_1, i_2, \dots, i_r | n, k)$  eine normale  $\ell$ -Zelle  
von  $V_{n-k}$ , und  $e^{md-1}$  eine  $(md-1)$ -Zelle von  $Q_n \setminus Q_0$ ,  
so liegt  $\mu(e^{md-1} \times (i_1, i_2, \dots, i_r | n, k))$  im  $md-1 + \ell$  Skelet  
von  $V_{n-k}$ ; aber  $\mu(e^{md-1} \times (i_1, i_2, \dots, i_r | n, k)) \subset \mu(Q_m \cdot Q_{i_1} \dots Q_{i_r})$ , also dies folgt aus  $(b_{n-k})$ . Damit ist  $(c_{n,k})$   
bewiesen.  $\#$

Wir haben Abbildungen  $V_{n-k} \rightarrow V_{m-e}$  für alle  $n, k, m, e$   
mit  $n \leq m$ ,  $n-k \leq m-e$ :

$$V_{n,k} \cong G(n)/G(n-k) \longrightarrow G(m)/G(m-e) \rightarrow V_{m,e}.$$

2.44 Kowallen Für  $n \leq m$  und  $n-k \leq m-e$  ist die Abbildung  
 $V_{n,k} \rightarrow V_{m,e}$  zellulär, und bildet die Zelle

$$(i_1, \dots, i_r | n, k) \rightarrow \begin{cases} \cong \text{ auf } (i_1, \dots, i_r | m, e) \text{ falls } r > m-e \\ \cong \text{ auf } (i_1, \dots, i_r, | m, e) \text{ falls } r = 1, k = n, \\ \quad i_r = 1, i_{r+1} > m-e \\ \text{auf entarteter Weise sonst.} \end{cases}$$

Beweis: folgt aus 2.38 und die Definition von normalen Zellen.  $\#$

Als direkter Kowallen von 2.38 und 2.48 erhalten wir eine  
Berechnung von  $H_*(V_{n,k}^{\mathbb{C}}; \mathbb{Z})$ ,  $0 \leq k \leq n$ , und insbesondere  
von  $H_*(U(n); \mathbb{Z})$  und  $H_*(S^1 \times U(n); \mathbb{Z})$ .

2.45 Theorem: Jede normale Zelle  $(i_1, \dots, i_r | n, k)$  ist  
ein Zykel in  $C_*^{\text{cw}}(V_{n,k}^{\mathbb{C}}; \mathbb{Z})$  (in der Notation von 2.13).

Die Homologie  $H_*(V_{n,k}^{\mathbb{C}}; \mathbb{Z})$  ist ein freier  $\mathbb{Z}$ -Modul mit

Basis  $\{Q_0\} \cup \{[i_1, \dots, i_r] \mid (i_1, \dots, i_r) \in [n, n]\}$  wurde

Zelle von  $V_{n,k}$ . Für  $n \leq m$  und  $n-k \leq m-l$  induziert die Standard Abbildung  $V_{n,k}^{\mathbb{C}} \rightarrow V_{m,l}^{\mathbb{C}}$  den Homomorphismus  $H_* (V_{n,n}^{\mathbb{C}}; \mathbb{Z}) \rightarrow H_* (V_{m,l}^{\mathbb{C}}; \mathbb{Z})$ , der durch

$$[i_1, \dots, i_r] \mapsto \begin{cases} [i_1, \dots, i_r] & (r \geq m-l) \\ 0 & \text{sonst} \end{cases}$$

bestimmt ist. Außerdem ist  $H_* (Q_n \times V_{n-1, n-1}^{\mathbb{C}}; \mathbb{Z}) \rightarrow H_* (V_{n,n}; \mathbb{Z})$  surjektiv.

Beweis: Es genügt zu zeigen, dass der Rand operator in  $C_*^{cw} (V_{n,n}^{\mathbb{C}}; \mathbb{Z})$  null ist. Für  $k=0$  ist es richtig, da  $V_{n,0} = \pi(Q_0)$  nur einen Punkt hat. Induktion:

Sei nun  $1 \leq k \leq n$ , und sei angenommen  $d_+ = 0$  auf  $C_*^{cw} (V_{n-1, k-1}; \mathbb{Z})$ . Die Abbildung  $Q_n \times V_{n-1, k-1}^{\mathbb{C}} \rightarrow V_{n,k}$  ist zellulär, und induziert ein surjektive Hom:

$$C_+^{cw} (Q_n \times V_{n-1, k-1}) \rightarrow C_+^{cw} (V_{n,k}).$$

Deshalb genügt es zu zeigen, dass  $d_+ = 0$  auf  $C_*^{cw} (Q_n \times V_{n-1, k-1})$ .

Wir wissen dass  $d_+ = 0$  auf  $C_*^{cw} (Q_n)$ , weil die Zellen von  $Q_n$  in Dimensionen  $0, 1, 3, 5, 7, \dots, 2n-1$ , und die Zelle in Dim. 1 Rand 0 hat. Ebenso ist  $d_+ = 0$  auf  $C_*^{cw} (V_{n-1, k-1})$  per Induktionsvoraussetzung. Aber der Rand für  $C_*^{cw} (Q_n \times V_{n-1, k-1})$  ist von den Rändern für  $Q_n$  und  $V_{n-1, k-1}$  bestimmt, denn die Formel  $d(e \times f) = d(e) \times f + (-1)^n e \times d(f)$ , wobei  $n = \dim(e)$ : Siehe die Künneth Formel im nächsten Kapitel. Die anderen Aussagen folgen. # und die Künneth.

2.45 Bemerkung: Ebenso können wir versuchen,  $H_* (V_{n,n}^R; \mathbb{Z})$  zu berechnen, aber das ist deutlich komplizierter:  $d \neq 0$  auf  $H_* (Q_n^R; \mathbb{Z})$ , da  $Q_n^R = RP^{n-1} \cup \{Q_0\}$ . Aber der Rand  $d = 0$  auf  $H_* (Q_n^R; \mathbb{Z}/2)$ . Das motiviert, zum Beispiel,

dass man andere Koeffizienten als  $\mathbb{Z}$  nimmt: Thema des nächsten Kapitels.

2.46 Bemerkung: Die Kohomologie von  $U(n)$ ,  $SO(n)$  (und auch  $O(n)$ ,  $Sp(n)$ ) ist also berechenbar und ziemlich kompliziert; in dieser Form allerdings schwierig zu benutzen. Aber in der ohnigen Beschreibung von  $H_*(U(n); \mathbb{Z})$  wird die Gruppenstruktur von  $U(n)$  nicht benutzt: sie definiert nämlich ein Produkt auf  $H_*(U(n); \mathbb{Z})$  (das Pontryagin Produkt). Damit wird  $H_*(U(n); \mathbb{Z})$  eine  $\mathbb{Z}$ -Algebra und  $H_*(V_{n,n}; \mathbb{Z})$  einer  $H_*(U(n); \mathbb{Z})$ -Modul, womit man bessere Beschreibungen von  $H_*(U(n); \mathbb{Z})$ ,  $H_*(V_{n,n}; \mathbb{Z})$  gehen kann.

In Kapitel 4 werden wir Kohomologie  $H^*(-; \mathbb{Z})$  einführen, wobei  $H^*(X; \mathbb{Z})$  eine Algebra für alle  $X$  ist; diese Strukturen vereinfacht die Beschreibung von Kohomologiegruppen.

2.47 Bemerkung: mit ähnlichen Methoden (wie in Th. 2.38) kann man eine CW-Zerlegung und die Kohomologie von den Grassmannschen Raumfältigkeiten  $G_{n,k} = \{V \subset \mathbb{R}^n \mid \dim V = k\}$  beschreiben. Das werden wir später machen, wenn mehr Strukturen vorhanden ist.

2.48 Bemerkung: Theorem 2.38 gilt auch für  $V_{n,n}^{IH}$ , mit  $d=4$  in den Lemma; einziger Unterschied: 2.35  $(z,x) \sim (VzV^{-1}, Vx)$ .  
(IH nicht kommutativ)

Referenzen: CW-Komplexe und Zell. Kohomologie:

- A. Dold, "Lectures on alg. Topology".

Zelluläre Zerlegung von  $SO(n)$ ,  $V_{n,k}$ ,  $G_{n,k}$ :

- Hatcher, 3.D
- Steenrod, "Cohomology Operations".
- Milnor - Stasheff: "Characteristic classes".